太阳活动与珠江洪水丰枯变化趋势[注1](上)

李 国 琛

(广州地理研究所)

引 言

珠江由西江、北江和东江所组成,属暴雨 洪水河流。江中洪水由流域降水汇流而成,流 域降水状况与天气过程密切相联。

长期天气过程的维持和变化需要大量能量,以10米/秒平均风速计算,则全球大气动能约为2.55×10²7尔格,摩擦对大气动能消耗率为3.7×10²8尔格/日,那么,如果没有外界能量补充,不到10天就把它全部消耗;如果要保持平衡,使大气运动得以维持,就必须每日有同样能量转化成大气动能。大气运动能量源泉来自太阳,如果太阳活动有较长时期变化,就会引起大气运动有较长时期变化,因而也会引起珠江洪水有较长时期变化。本文即就太阳活动与珠江洪水关系作初步分析研究。

一、珠江年最大洪水等級初步划分

(一)划分标准

为了结合防洪抗旱生产实际和 预 报 的 需要,现把珠江年最大洪水分为五个等级。

平. Q代表历年年最大洪峰流量均值,西江高

要站1900~1981年 \overline{Q} =32,500秒立米,北江石 角站1951~1961年 \overline{Q} =9,500秒立米,东江博 罗站1951~1981年 \overline{Q} =5,380秒立米[注**2**]。

(二)年最大洪水具体划分标准 西江:

1级一特大水

 $\triangle Q_i \geqslant +$

13,000秒立米

2级一大 水 + 3,250≤△Qi < +

13,000秒立米

3级一中 水 - 3,250≤△Qi < +

3,250秒立米

4级一小 水 -13,000≤△Qi < -

3,250秒立米

5级一特小水

 $\triangle Qi < -$

13,000秒立米

北江:

1级一特大水

 $\triangle Qi \geqslant +$

3,800秒立米

2级一大 水 + 950 ≤ △Qi < +

3,800秒立米

3级一中 水 - 950 ≤ △Qi < +

950秒立米

4级一小 水 -3,800 < △Qi < -

950秒立米

5 级一特小水

 $\triangle Qi < -$

3,800秒立米

东江:

[〔]注1〕本文得到中山大学地理系沈灿粲教授审阅,在此表示感謝。

[〔]注2〕1900~1980年西江(高要站)年最大洪峰 流量資料由珠委水文计算科提供。

1级一特大水 △Qi ≥ + 3,340秒立米

2级一大 水 + 835 △Qi < + 3,340秒立米

3级一中 水 - 835 △ △Qi < + 835秒立米

4级一小 水 -3,340 △Qi < -835秒立米

5级一特小水 △Qi < - 3,340秒立米

二、太阳活动与珠江年最大洪水

反映太阳活动指标很多,目前采用最多的 是太阳黑子相对数。太阳黑子的多少基本上代 表了太阳表面辐射能量的变化,反映了太阳活 动的强弱。下面就太阳黑子活动与珠江年最大 洪水关系作初步分析。

(一)周期性分析

1. 距平累积变 化曲 线(又称"差 积曲线")首先计算太阳黑子年平均 相对数 距平

(1900~1981年),并点绘其距平累积曲线,同时计算西江高要站(1900~1981年)、北江石角站(1951~1981年)、东江博罗站(1951~1981年)年最大洪峰流量距平值,并分别点绘其距平累积曲线(图1、图2)进行对比分析。

从图1可看出: (1)太阳黑子相对数有近百年(80~90年)世纪周期,1935年出现最低值:1935年以前为减弱期,以后为增强期。在世纪周期波动中又有小周期波动,其平均长度为11年。11年周期奇数周极大值年黑子数比偶数周极大值年的要多,因而太阳黑子活动实际上存在22年周期。由于同黑子磁场磁性一正一负交替变化周期相一致,所以22年周期又称为"磁周期",而11年周期称为"磁半周"。(2)西江高要站年最大洪水大体上与太阳黑子平均相对数相近,同样存在近百年世纪周期,但峰谷分布正好相反,太阳黑子低峰期正好是西江水量高峰期,这段时间大致自本世纪一十年代中到五十年代初。五十年代以后,西

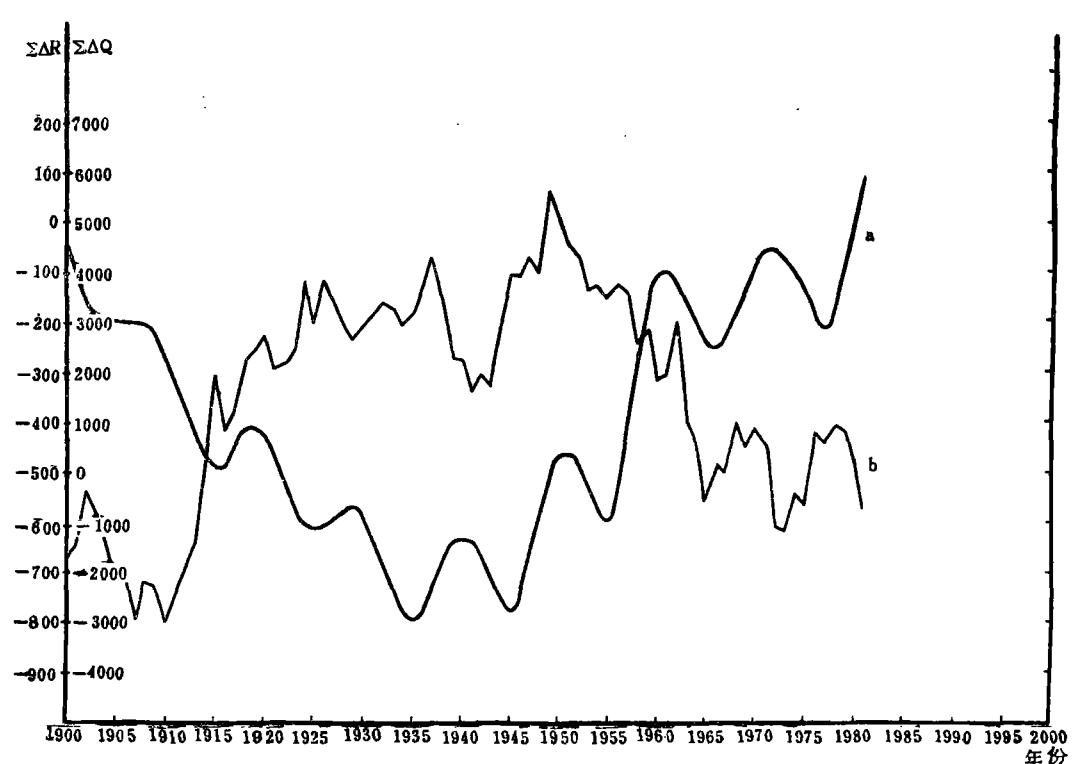


图 1 太阳黑子年平均相对数距平累积($\Sigma \Delta R$)曲线a与西江年最大洪峰流量距平累积($\Sigma \Delta Q$)曲线b对照图

-40-

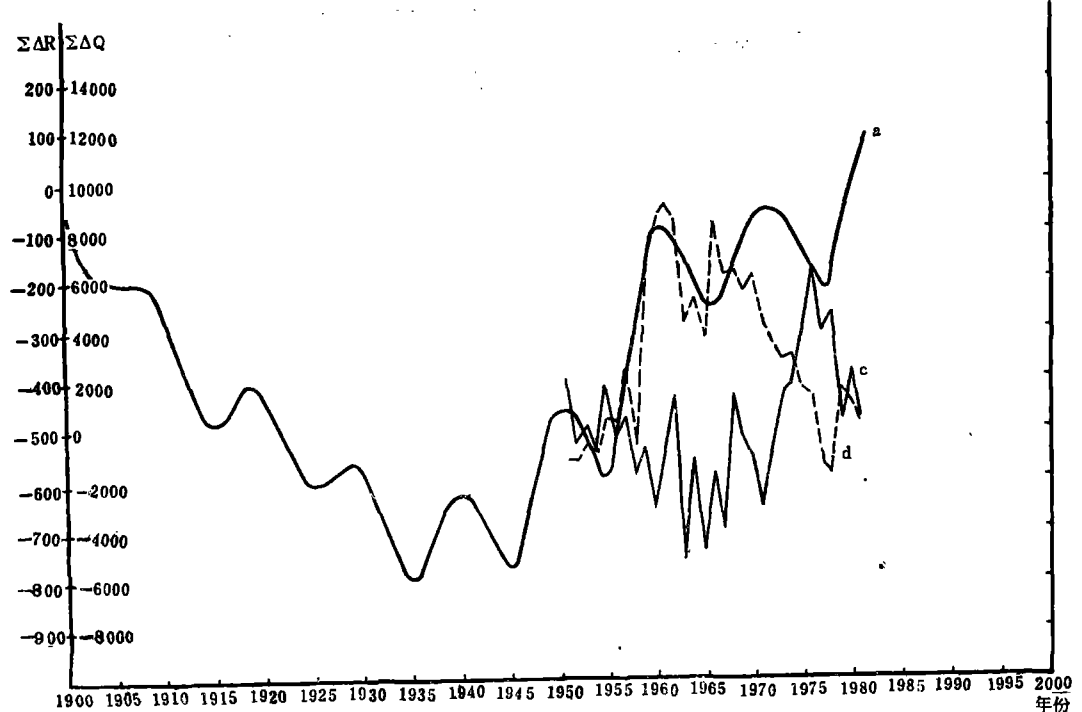


图2 太阳黑子年平均相对数距平累积($\Sigma \Delta R$)曲线a与北江、东江年最大洪峰流量距平累积($\Sigma \Delta Q$)曲线c、d对照图

江水量随太阳活动的增强而逐渐趋于减小。直至八十年代初,太阳活动到达了世纪周期最高峰,西江水量相应趋近于世纪周期最低点。

从图2可看出,北江和东江年最大洪水变 化趋势正好相反(年最大流量距平累积变化曲 线峰谷分布正好相反),北江水量低谷期和东 江水量高峰期出现在太阳黑子活动增强期中间 阶段(六十年代)。七十年代基本上北江水量 上升,东江水量下降;八十年代初,北江水量 到达高峰期,而东江水量接近最低点。

2 方差周期分析

方差分析计算结果,珠江年最大洪水的主周期:西江(珠江主流)为22年(F*=1.68 > F $\alpha^{\bullet\bullet}_{0.10}=1.54$),北江为7年(F*=2.64> F $\alpha^{\bullet\bullet}_{0.05}=2.04$),东江为13年(F*=2.52> F $\alpha^{\bullet\bullet}_{0.05}=2.34$):次周期:西江为18年(F*=1.47>F $\alpha^{\bullet\bullet}_{0.20}=1.40$),北江为11年(F*=

1.51〉Fα ** 0.20=1.50),东江为12年(F*=2.11〉Fα ** 0.10=1.94)。通过方差计算可见,太阳活动对珠江流域三条江的效应,在程度上是不同的。主流西江太阳活动的效应最显著,22年周期表现也最显著,成为西江年最大洪水变化的主周期,置信度 α 超过0.10;其次是北江,主周期中22年或11年周期都不显著,只有次周期才出现与太阳黑子活动相应的11年周期,置信度仅超过0.20;最后是东江,虽然太阳活动(黑子位相)影响有所反应,但无论是主周期或是次周期,都没有出现与太阳黑子活动周期(如11年周期等)相应的周期。由此可见,太阳活动效应:西江〉北江〉东江。

(二)太阳活动与珠江洪水峰现特征分析 把西江、北江和东江三江年最大洪水所对 应的年份按太阳黑子活动11年周期上升段和下 降段平均长度排表(表1和表2),然后进行 统计分析,并找出其峰现特征。

F*~方差比Q**~置信度

	1	١		ŀ
١	q			
4		١	۱	ŀ

西江(窩栗讷)历年年最大洪峰濟量分級桉11年周期太阳黑子价相排患

许	伞	1.2) 2	Ľ,	90		19		18		17			16			15		14		<u>.</u>	が、田本の田本の田本の田本の田本の田本の田本の田本の田本の田本の田本の田本の田本の田	*
(2) (3) (4) (4)	(1) m) 为底值年	+14,700	1976	-3,500	1964	+1,400	1954	+12,400	+	-1,100		1933	+2,900		1923	+5,000	+ 1913	+3,100	1901			В	
格字数中数字格式"十十"。即"十十"。	b太阳黑子 前或高值	-2,100	77	-11,900	65	-2,500	ა ა	(+10,000)	# # + #	-3,300	ı	34	+2,900+15,100	十 十	24	13,600	+ <u>-</u> + *	+9,700	+ 2			<u>+</u>	<u></u>
产上边为9 为特大力 新 <u>补值。</u>	相对数低值年年第一年、第	+3,900	78	+7,200	₽66 ———————————————————————————————————					+2,200	_	35	-9,300	1	25	+22,000	+ 15 +	-4,200	1 %			+ 2	四江(冯要班)历年年最大洪峰流量分数按门年周期太阳黑子位
() ()	、值年, 、第二。	-800	79		•								+9,000	+	26							-2	6) 力年
"边为年属	M为高值年; 年、******	-6,600	08	-1,600	67	+3,000	56	-300	46	+4,800	+	36	-4,100	1	27	-12,100	16	-4,600	1 04			<u></u>	年最大法
边为年最大洪峰流量距平(单位: 秒立米)。"为大水,"一"为特小水,"一"为小水,无符号者为中水。	[年;十1,	-8,900	18	1,600+10,100	⊦68 -	-1,800	57	+4,400	+ *	+7,700	+	37	-5,100	1	28	+43,00+10,100	17 +	-8,600	18			×	三 流量:
范量 門 門 形 大 門	, +2	-3,200	82	-5,300	69	-10,000	I &	-3,100	48	-8,800	1	38	-2,500		29	+10,100	+ 18	+3,200-	90	}		+	7数接1
/*(单位:	··为低值:			+4	70	+2,800	59	100+16,700	+ 45	800-12,200	ı	39	+1,800	-	30	+1,800	19	-11,400	1 07			+ 2	1年周期2
** 本立 ** ** ** ** ** ** ** ** ** ** ** ** **	为低值年或高值年			-3,700	71	-10,100	1 60	-4,200	1 6	+100		40						+8,600	+ 8			+ 3	大四黑子
)。 小水,刃 ————	年后第-			-3,700 -15,900	72													-900	09			+1	位相排表
5符号者2	一年、第二			-600	73	+1,500	61	-7,200	1 5	-6,600	ı	41			_	+33,00	20	-7,800	1 70			ļ w	A THE
5中水。	-年、第二年;			+8,200	74	+1,500+10,700-19,	+ 62	-1,700	52	+3,700	+	42	+3,100		31	-6,800 +900	21	+5,600	+ =			 2	
	·; —1,		1	-3,000	75	-19,700	63	-7,100	1 %	1		43	+2,700-1,100	(32	+900	22	+5	+ 12	-16,400	1900	[
	-2,			+14,700	76	-3,500	64	+1,400	54	-2,200+12,400	+	44	-1,100	(33	+2,900	23	,500 +5,000	+ 13	+3,100	01	m	

-1,000 -470 ᄄ -1.150(+530)22 53 北江(石角站)、东江(博罗站)历年年最大洪峰流量分級按11年周期太阳黑子位相排表 Į +2,500 |+2,100 (-1,220) (-10) +180 -480Ø 52ı 1951-880 -1,880 +2,800 +1,700 009-က i -8-30せ 72 +1 +720 -2,000 -2,020 +600 |-2,210,+1,200-2,580 က 9 + 2 + -2,460+5,400-1,860-940 + 69 82 -470 |-2,530 |-650 |+3,580 |-660 |-1,000 -2,270 +210 \geq 2268 81 I 29 - 8 I 8 + S +4,200-3,700+3,300 S 1% (同表1) 28 +1954 55 -- + -1,000+2,600 -260 +1,400 1976 77 77 一 十 65 55+ 19641976 + 1954 ᄄ 逦 20 18 18 1.9 19 20 2121 田田南 表2 汪 筗 汽 끆 Ħ 茶 Ħ

浜

接着,把表1和表2分别统计各时段丰枯频数和百分数得表3和表4。

表3 太阳黑子活动各时段西江丰枯年频数及其百分数统计表(1900~1982年)

从			丰	水鱼	F			7	枯	水	F	****	正			
阳统计	特	大水	大	水	小	计	特/	小水	小	水	小	计	(水)	合	计
太阳黑子活动	频数	%	频数	%	频数	%	频数	%	频数	%	频数	%	频数	%	总频数	%
m	1	12.5	_ <u>*x.</u> 2	25.0		37.5		0	1	12.5	1	12.5		50.0	3 X.	100
$m+1 \sim M-1$	3	12.5	6	25.0		37.5		0	8	33.3	8	33.3		29.2	24	100
M	0	0	4	50.0	4	50.0	0	0	3	37.5	3	37.5	1	12.5	8	100
M+1~m−1	1	2.3	8	18.6	9	20.9	3	7.0	12	27.9	15	34.9	19	44.2	43	100

表 4 太阳黑子活动各时段北江和东江丰枯年频数及其百分数 统计表(1951~1982年)

	洪水类型		-	丰	水生	F			7	枯	水 左	F		正1	常年		
- জন	太知新新		特大水		水小		计	特小水		小水		小 计		(中水)		合	计
	黑动数	频	%	频	%	频	%	频	%	频	%	频	0%	频	%	总频	%
	1 四段	数		数		数		数		数		数		_数_		频数	
	m	1	33.3	1	33.3	2	66.7	0	0	1	33.3	1	33.3	0	0	3	100
北	$m+1 \sim M-1$	0	0	3	33.3	3	33.3	1	11.1	`4	44.4	5	55.6	1	11.1	9	100
江	М	1	33.3	0	0	1	33.3	0	0	1	33.3	1	33.3	1	33.3	3	100
	$M+1 \sim m-1$	1	5.9	7	41.2	8	47.1	1	5.9	5	29.4	6	35 . 3	3	17.6	17	100
	m	0	0	1	33.3	1	33.3	0	0	0	0	0	0	2	66.7	3	100
东	$m+1\sim M-1$	2	22.2	1	11.1	3	33.3	2	22.2	4	44.4	6	66.7	0	0	9	100
江	М	0	0	1	33.3	1	33.3	0	0	1	33.3	1	33.3	1	33.3	3	100
	$M+1 \sim m-1$	1	5 :9	3	17.6	4	23.5	2	11.8	7	41.2	9	53.0	4	23.5	17	100

为了进一步分析珠江主流西江特点,在表 1基础上又对太阳黑子世纪周期增强期和减弱 期,分别统计了黑子极值年和上升段(m~M) 与下降段 $(M+1\sim m-1)$ 丰枯年频数及 其百分数 (表5)。

表 5 太阳黑子活动世紀周期减弱期与增强期西江丰枯年频数及其 百分数统计表(1900~1982年)

洪水	太阳11年太阳世纪	周期活动 时 段	m~M(极值年	M+1~m-	- 1~m-1(下降段)				
	类统计	周时周期活动段为活动期	1935年前 (减弱期)	1935年后 (增强期)	1935年前 (减弱期)	1935年后 (增强期)			
		频 数	3	1	0	1			
丰	特大水	%	16.7	4.5	0	3.8			
水	大水	频数	4	8	4	4			
年		%	22.2	36.4	23.5	15.4			
	杜小小	频数	0	0	0	2			
枯	特小水	%	0	0	5.9	7.7			
水	ا ماساد	频 数	8	4	3	10			
年	小水	%	44.4	18.2	17.7	38.5			
11-12 (正常)年	频数	3	9	9	9			
1.71/	止申ノ手	%	16.7	40.9	52.9	34.6			
 슴	计	频 数	18	22	17	26			
Ē	1 Ι	%	100	100	100	100			

(上接38页)

所、上海航道局设计研究所、广州航道局、交通部四航局设计院、黄埔港务局、广东省科委、广东省林科所、广东省航运规划设计院、广东省水科所、广东省航运规划设计院、广州市科委、广州港监、珠海、沿门、中山、新会水电局以及珠委有关处、外门、中山、新会水电局以及珠委有关处、外对外的代表,就磨刀门河口的治理规划以及了模型的简况,设计,验证等技术问题和分级。代表们参观了模型试验场,还到磨刀门河口地区进行了实地查勘。代表们在分组

讨论后,北京水科院的林秉南、长科院的唐日 长、黄科所的李保如、清华大学的侯晖昌、南 科所的罗肇森等专家在大会上作了发言,对规 划以及模型试验等问题提出了很好的意见。珠 委主任刘兆伦同志到会作了总结讲话,感谢来 自全国各地的专家、工程师对珠委工作的支持 和协作。

经过这次会议,磨刀门河口模型的试验工 作进程必将加快,早出成果。

(黄钟炜)